

Polyelectrolyte Chain의 Brownian Dynamics 시뮬레이션에 따른 한정된
Slit 공간에서의 정적 및 동적 거동 연구

곽현욱, 전명석
한국과학기술연구원, 복합유체연구팀

Brownian Dynamics Simulations for Static and Dynamic Behaviors of a
Polyelectrolyte Chain Confined in Slit-like Spaces

Hyun Wook Kwak, Myung-Suk Chun
Complex Fluids Team, Korea Institute of Sci. and Tech., Seoul 130-650

서론

수십 마이크로 미터 이하의 length scale을 가지는 미세 흐름채널과 같은 한정된 공간 내에서 complex fluid가 나타내는 다양한 거동 특성은 micro-hydrodynamics 등의 분야에서 학술적으로 비중 있는 연구주제라 할 수 있다. 혈관에서의 혈액유동특성 분석, 초미세분리공정은 물론, 최근 lab-on-a-chip과 같은 microfluidic device 설계 등의 응용분야에 이르기까지 complex fluid 특성에 대한 예측이 중요한 비중을 차지하고 있다.

하전된 monomer들이 사슬구조를 형성한 polyelectrolyte가 분산되어 있는 suspension의 정적 및 동적 특성은 이전부터 활발히 연구되어 온 바 있다. 특히 micro-scale의 접근방식을 통해 화학공학적 특성을 예측하고자 하는 최근의 경향에 따라 polyelectrolyte 시스템에 대해서도 micro-scale의 접근방식에 기초한 다양하고 깊이 있는 시뮬레이션 기법이 적용되고 있다[1]. 본 연구에서는 한정된 미세 공간 내에 위치하는 single polyelectrolyte chain의 특성 예측을 위해, 최근 colloid suspension 및 다양한 macromolecule 시스템 등으로 그 적용 범위를 넓혀가고 있는 Brownian dynamics(BD) simulation 방법을 도입하였고, 이를 통하여 coarse-grained model polyelectrolyte chain의 conformation 특성과 확산계수 등을 예측하였다.

Fig. 1. Schematic of the model polyelectrolyte confined in a slit.

Brownian dynamics(BD) 시뮬레이션 scheme

1. Coarse-grained bead-spring model

시뮬레이션 공간 내에서 polyelectrolyte chain은 N 개의 bead와 각각의 bead를 연결하는 N-1개의 Hookean spring으로 이루어진 coarse-grained bead-spring model로 단순화된다[2,3]. 각각의 bead는 실제 계의 수십~수백 개에 해당하는 monomer에 해당하며, model의 length scale은 spring의 평형길이 l_0 에 의해 결정된다. Polyelectrolyte chain의 고유한 특성을 모사하기 위해 model을 구성하는 각각의 bead에 식(1a)~(1d)와 같이 주어진 potential E 를 적용한다.

$$\text{Hookean Spring Potential: } E_{i,i+1}^s = \frac{\alpha}{2} (r_{i,i+1} - l_0)^2 \quad (1a)$$

Bending Potential: $E_i^b = \frac{\beta}{2} (\theta_i - \theta_0)^2$ (1b)

Electrostatic Potential: $E_{ij}^e = \frac{\nu^2 l_0^2}{\epsilon} \sum_{j>i+1} \frac{e^{-\kappa r_{ij}}}{r_{ij}}$ (1c)

Lennard-Jones Potential: $E_{ij}^{LJ} = 4\epsilon_{LJ} \sum_{j>i+1} \left[\left(\frac{\sigma}{r_{ij}} \right)^{12} - \left(\frac{\sigma}{r_{ij}} \right)^6 \right]$ (1d)

여기서, r_{ij} 는 i 와 j 번째 bead 사이 연결 벡터의 절대값을, α 와 β 는 각각 spring 상수와 bending 상수를, l_0 와 θ_0 는 각각 평형길이와 평형각을, ϵ 은 dielectric constant를, ν 는 linear charge density를, κ 는 inverse Debye length를, ϵ_{LJ} 와 σ 는 각각 Lennard-Jones potential의 well depth와 평형거리를 나타낸다.

2. 한정된 slit 공간 조건

Slit으로 한정된 공간에서의 polyelectrolyte chain을 예측하기 위해, 일정 간격의 두 벽면을 시뮬레이션 공간 내에 위치시키고 그 사이에 chain을 위치시킨다. 이를 위해 자유공간에서와는 달리 식(2)과 같이 각각의 bead와 벽면간에 존재하는 wall-particle Lennard-Jones potential $E_i^{LJ,w}$ 의 영향을 추가하여 고려한다.

$$E_i^{LJ,w} = \frac{3^{3/2} \epsilon_{LJ,w}}{2} \left[\left(\frac{\sigma_w}{z_i} \right)^9 - \left(\frac{\sigma_w}{z_i} \right)^3 \right] \quad (2)$$

여기서, z 는 i 번째 bead의 Z-축 좌표를, $\epsilon_{LJ,w}$ 와 σ_w 는 각각 particle wall Lennard-Jones potential의 well depth와 평형거리를 나타낸다.

3. Numerical methods

주위 용매분자들의 Brownian force에 노출된 bead-spring chain의 움직임은 Brownian force를 시간에 따른 random force로 처리하는 Langevin equation of motion으로 표현된다[4,5]. 이와 같은 운동방정식에 지배되는 시스템의 특성을 시뮬레이션을 통하여 예측하기 위하여 다음의 Ermak-McCammon algorithm[6]을 통한 Brownian dynamics 시뮬레이션 기법을 도입한다.

$$\mathbf{r}_{m+1}(t) = \mathbf{r}_m(t) + [\mathbf{D}_m(t) \cdot \mathbf{F}_m(t)] \Delta t + \mathbf{R}_m(t) \quad (3a)$$

$$\langle \mathbf{R}_m(t) \rangle = 0 \quad (3b)$$

$$\langle \mathbf{R}_m(t) \cdot \mathbf{R}_m^T(t) \rangle = 2\mathbf{D}_m(t) \Delta t \quad (3c)$$

여기서, \mathbf{D}_m 은 Ronte-Prager hydrodynamic tensor, \mathbf{F}_m 은 $-\nabla E$ 를, $\mathbf{R}_m(t)$ 는 식(3b)와 (3c)를 만족하는 random force term을 나타낸다[5-7].

실질적인 시뮬레이션 과정은 Fig. 2와 같이 초기의 non-equilibrium state로부터 출발하여 equilibrium state에 도달했다고 판단되는 충분한 시간에 도달하기 까지 stochastic differential equation의 적분을 수행함으로써 이루어지며, 결과 값의 계산은 최종 equilibrium state에서의 conformation data로부터 산출된다.

Coarse-grained model로부터 예측되는 특성의 통계적 정확성을 향상시키기 위하여 다수의 ensemble trajectory를 발생시킨다[7]. 각각의 trajectory는 Gaussian distribution의 특성을 가진 random initial conformational state를 부여받게 되며, 이후 동일한 수치 적분 알고리즘을 거쳐 일차적으로 각각의 결과 값들을 산출하

고 post-process를 통하여 이들의 산술평균값을 최종적인 결과로 정하는 방식을 취하였다.

시뮬레이션 결과

1. Conformation properties

Polyelectrolyte chain의 conformation 특성과 관련된 다음 인자들이 정의된다.

$$\text{End-to-End Distance: } R_{\text{End}} = \sqrt{(\mathbf{q}_N - \mathbf{q}_1)^2} \quad (4)$$

$$\text{Radius of Gyration: } R_G = \sqrt{\frac{1}{N} \sum_{i=1}^N \langle (\mathbf{q}_i - \mathbf{q}_{CM})^2 \rangle} \quad (5)$$

여기서, \mathbf{q}_i 는 i 번째 bead의 위치벡터를 나타낸다. 위의 값으로부터 characteristic ratio of relative stretching R 을 다음과 같이 정의한다.

$$R = \left(\frac{R_{\text{End}}}{R_G} \right)^2 \quad (6)$$

R 값은 random walk state에서는 6, fully stretched state에서는 12의 값을 가지며, 일반적으로 good solvent 조건의 기준이 되는 값은 6.3이다. Fig. 3은 평형상태에 도달한 ensemble trajectory들의 end-to-end distance 분포 결과이다. Charged bead의 inverse Debye length에 따른 R_G 와 R 의 경향을 Fig. 4에 도시하였다.

2. Diffusion coefficient

Bead-spring model chain의 diffusion coefficient D 는 다음의 Stokes-Einstein equation으로 나타낼 수 있다[7].

$$D = \lim_{t \rightarrow \infty} \frac{\langle (\mathbf{q}_{CM}(t) - \mathbf{q}_{CM}(0))^2 \rangle}{6t} \quad (7)$$

즉, diffusion coefficient는 평형상태에 도달한 이후 일정 시간 범위에 해당하는 변위 제곱의 평균값을 취하고 이 값의 시간에 따른 기울기를 계산함으로써 구할 수 있다. Charged bead의 inverse Debye length에 따른 D 값의 경향을 Fig. 5에 도시하였다.

참고문헌

1. Sadus, R. J., 1999, Molecular Simulation of Fluids: Theory, Algorithms and Object-Orientation, Elsevier, New York.
2. Kwan T. C. B. and E. S. G. Shaqfeh, 1999, *J. Non-Newtonian Fluid Mech.* **82**, 139-165.
3. Andrews N. C. and A. J. McHugh, 1998, *J. Rheol.* **42**, 281-305.
4. Lee S., 1986, Dynamics and Reactions of Macromolecules in Solution, Harvard Univ. Press, Cambridge.
5. Bird R. B, C. F. Curtiss, R. C. Armstrong and O. Hassager, 1987, Dynamics of Polymeric Liquids Vol. 2, John Wiley and Sons, New York.
6. Ermak, D. L. and J.A. McCammon, 1978, *J. Chem. Phys.* **69**, 1352-1357.
7. Jian H., A. V. Vologodskii and T. Schlick, 1997, *J. Comp. Phys.* **136**, 168-179.

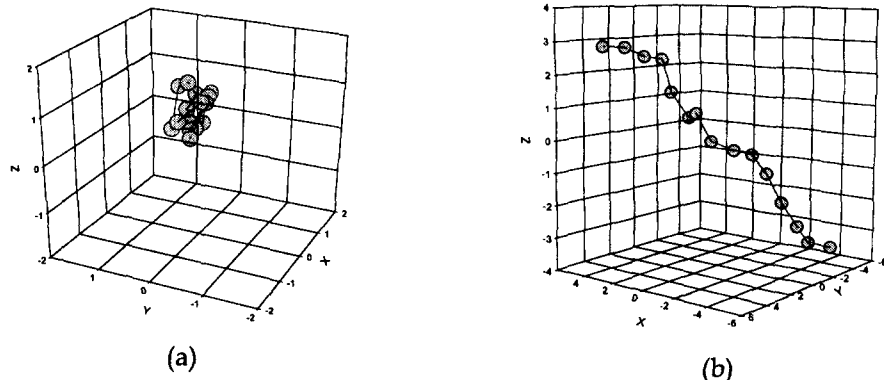


Fig. 2. The conformation at (a) initial and (b) steady state of the bead-spring model.

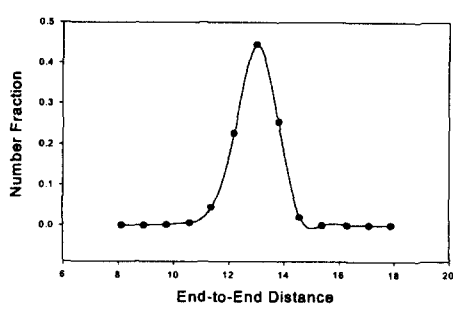


Fig. 3. The distribution of end-to-end distance of 1×10^3 ensemble trajectories.

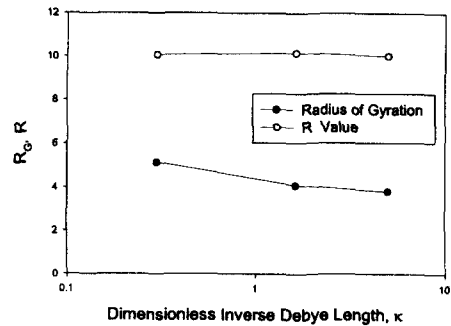


Fig. 4. The radius of gyration and R value versus dimensionless inverse Debye length.

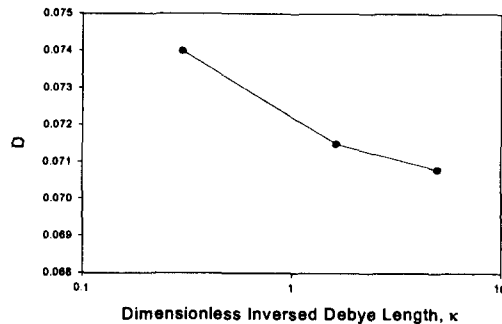


Fig. 5. Dimensionless diffusion coefficient, D versus dimensionless inverse Debye length.